



การวิเคราะห์พื้นที่โอกาสเกิดดินถล่มสำหรับหินกรุ่นไดออไรท์ ในพื้นที่โครงการพัฒนาดอยตุงฯ

Analysis of Landslide Hazard Area for Diorite Rock in Doi Tung Development Project

สุทธิศักดิ์ ศรลัมพ์ (Suttisak Soralump)¹

รัชธรรม อิสารอรานิ特 (Rattatam Isaroranit)²

บรรพต คุลสุวรรณ (Bunpoat Kunsuwan)³

¹ ผู้ช่วยศาสตราจารย์ หัวหน้าศูนย์วิจัยและพัฒนาวิศวกรรมปูฐีและฐานราก ภาควิชวกรรมโยธาคณะวิศวกรรมศาสตร์

มหาวิทยาลัยเกษตรศาสตร์ fengsus@ku.ac.th, soralump_s@yahoo.com

² วิศวกรปูฐีอาวุโส ศูนย์วิจัยและพัฒนาวิศวกรรมปูฐีและฐานราก มหาวิทยาลัยเกษตรศาสตร์ Nuk_Civil@yahoo.com

³ วิศวกรปูฐีอาวุโส ศูนย์วิจัยและพัฒนาวิศวกรรมปูฐีและฐานราก มหาวิทยาลัยเกษตรศาสตร์ BeeBunpoat@yahoo.com

บทคัดย่อ : การวิเคราะห์พื้นที่โอกาสเกิดดินถล่มในพื้นที่โครงการพัฒนาดอยตุงฯ ดำเนินการโดยศึกษาข้อมูลลักษณะภูมิประเทศและสภาพพื้นที่ โดยสำรวจในพื้นที่พร้อมทั้งดำเนินการทดสอบทั้งในสนามและห้องปฏิบัติการ อันประกอบด้วย การสำรวจชั้นดินด้วยการเจาะสว่านมือ (Hand Auger) การขุดบ่อสำรวจ (Test Pits) การเจาะชั้นดินระดับลึก การสำรวจการพินบดิของภาคดินในพื้นที่ การทดสอบค่าความซึมน้ำและความแข็งแรงของดิน จำนวนนี้วิเคราะห์ความมั่นคงของลาดชันโดยใช้วิธี Limit Equilibrium เพื่อประเมินพื้นที่โอกาสเกิดดินถล่ม ตามค่าอัตราส่วนความปลดภัยที่สมพันธ์กับองค์ความลาดชันเพื่อระบุข้อจำกัดในการก่อสร้าง ทำให้ทราบถึงพื้นที่ที่มีโอกาสเกิดดินถล่มตามลักษณะทางธรรมชาติ สำหรับการนำปัจจัยสิ่งปลูกหลังดินมาเริ่มพิจารณา ดำเนินการโดยการจัดลำดับความสำคัญของสิ่งปลูกหลังดินเป็น 5 ระดับโดยกำหนดตามความสามารถในการป้องกันการไหลผ่านของน้ำลงสู่ชั้นดิน ทำให้ได้แผนที่โอกาสเกิดดินถล่มที่ได้พิจารณาสิ่งปลูกหลังดินร่วมกับการวิเคราะห์ทางวิศวกรรมปูฐี ศุดท้ายตรวจสอบความถูกต้องของการวิเคราะห์ กับข้อมูลการพินบดิจริงในพื้นที่ พบว่ามีความสอดคล้องกัน ยกเว้นบริเวณที่มีการเปลี่ยนแปลงลาดชันธรรมชาติ เช่น การตัดถนน เป็นต้น

ABSTRACT : Landslide Hazard area was Analyzed in Doi Tung Development Project. Field and Laboratory investigations were done including hand augers, test pits, drilling, landslide investigation permeability test and shear strength test. Stability analysis has been done using limit equilibrium concept. Landslide hazard area is assigned based on the slope degree which corresponds to slope factor of safety. As for land cover, considerations were made to include this factor in the analysis. Finally, verification was done and found good correlation between hazard area from the analysis and actual location of slope failure

KEYWORDS : Landslide Hazard Map, Landslide, Stability Analysis

1. บทนำ

ดินถล่มเป็นภัยพิบัติตามธรรมชาติในประเทศไทยที่มีแนวโน้มที่จะเพิ่มมากขึ้น และส่งผลกระทบแรงอย่างต่อเนื่อง โดยภัยดินถล่มมักเกิดขึ้นอย่างรวดเร็ว ฉับพลันและ ก่อให้เกิดความสูญเสียต่อชีวิตและทรัพย์สิน วิธีการป้องกันหรือลดความสูญเสีย

เนื่องจากการเกิดดินถล่ม มีอยู่หลายวิธี เช่น การกำหนดพื้นที่โอกาสเกิดดินถล่ม (Landslide Hazard Area) การกำหนดพื้นที่เสี่ยงภัยดินถล่ม (Landslide Risk Area) และการกำหนดเกณฑ์ในการเตือนภัย เป็นต้น ในประเทศไทยมีหลายหน่วยงานที่ศึกษาเกี่ยวกับการกำหนดพื้นที่โอกาสเกิดดินถล่ม โดยอาศัยวิธีดังนี้

ปัจจัยร่วม เช่น กรมพัฒนาที่ดิน และกรมทรัพยากรัฐ และวิธีทาง วิศวกรรมปฐพี เช่น ศูนย์วิจัยและพัฒนาวิศวกรรมปฐพีและฐานราก มหาวิทยาลัยเกษตรศาสตร์ โดยทั่วไปวิธีดังนี้ปัจจัยร่วม เหมาะสมกับการวิเคราะห์พื้นที่ก้างที่ทำให้เห็นภาพรวมได้ดี แต่ มีความแม่นยำจำกัดในพื้นที่ขนาดเล็ก ในขณะที่วิธีทางวิศวกรรมปฐพีมีความแม่นยำสูงกว่าแต่ดำเนินการได้ในเฉพาะพื้นที่จำกัด เนื่องจากต้องการข้อมูลสำหรับการวิเคราะห์ที่ละเอียดกว่า บทความนิ่งนำเสนอการประยุกต์ใช้วิธีการวิเคราะห์พื้นที่ โอกาสเกิดคืนกลับ โดยวิธีทางวิศวกรรมปฐพี ในพื้นที่ที่มีความละเอียดขนาด 1:1,000 โดยใช้กราฟิกคอมพิวเตอร์ในการพัฒนาดอยดุงฯ

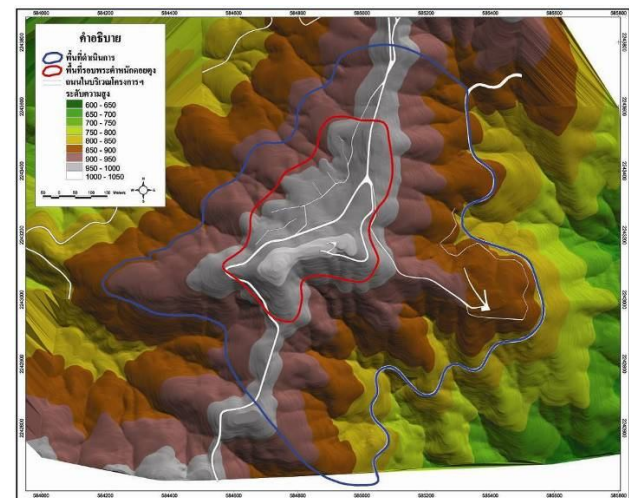
โครงการพัฒนาดอยดุงฯ ต.แม่ท่าหลวง อ.แม่ฟ้าหลวง จ.เชียงราย เป็นสถานที่ที่มีความสำคัญของประเทศไทย อย่างไรก็ตาม เนื่องจากเป็นพื้นที่สูงชันทำให้เกิดเหตุการณ์ดินถล่มอย่างต่อเนื่องโดยเฉพาะเมื่อเกิดเหตุไฟป่าในพื้นที่ทลายครึ่งตลอดช่วง 2-3 ปีที่ผ่านมา และล่าสุดเมื่อวันที่ 1 เมษายน พ.ศ. 2550 ซึ่งไฟป่าอาจทำให้สิ่งปลูกสร้างเปลี่ยนแปลงและกระดูกใหญ่เกิดคืนกลับ ได้ดังนั้นกรมทรัพยากรัฐ จึงได้ดำเนินการศึกษาร่วมกับศูนย์วิจัยและพัฒนาวิศวกรรมปฐพีและฐานราก มหาวิทยาลัยเกษตรศาสตร์ เพื่อศึกษาพื้นที่โอกาสเกิดคืนกลับในบริเวณรอบพระตำหนักดอยดุงฯ

กระบวนการศึกษาริบบิ้นที่การรวบรวมข้อมูลพื้นที่ฐาน สำรวจพื้นที่สำรวจและเก็บตัวอย่างดิน ทดสอบคุณสมบัติของดิน และสำรวจสภาพบ่งชี้ของพื้นที่ด้านคืนกลับ แล้วนำผลการสำรวจและทดสอบดังกล่าว มาวิเคราะห์เสถียรภาพของลักษณะเพื่อวิเคราะห์พื้นที่โอกาสเกิดคืนกลับ และตรวจสอบความถูกต้องของการวิเคราะห์ จากคำแนะนำการพิบัติ และสภาพบ่งชี้การเคลื่อนตัวของดิน

2. สักษณะภูมิประเทศและธรณีวิทยา

พื้นที่โครงการพัฒนาดอยดุงฯ อยู่บนพื้นที่ที่มีระดับความสูง 798 - 1,014 ม.รทก. และความลาดชันมาก (Mean 33.25° และ

SD 13.155°) ภาพที่ 1 แสดงเส้นชั้นความสูงในบริเวณพื้นที่โครงการพัฒนาดอยดุง จากแผนที่ กรมชลประทาน (2531) [1]

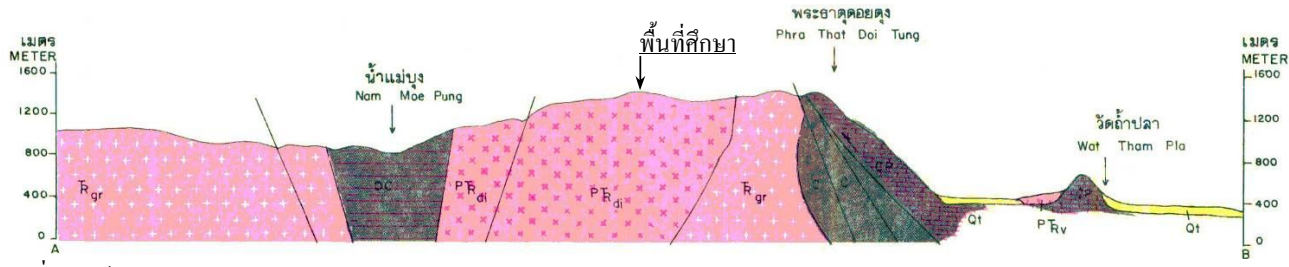


ภาพที่ 1 ลักษณะภูมิประเทศบริเวณพระตำหนักดอยดุงฯ

จากแผนที่ชีรภูมิวิทยาของกรมทรัพยากรัฐ (2533) [2] และข้อมูลธรณีวิทยาบริเวณโครงการฯ จากการศึกษาของ ปริญญา พุทธากิบาล และคณะ (2532) [3] พบว่าพื้นที่ปักกลุ่ม คือ หินอ่อนนี้แทรกซ้อน (Intrusive Rocks) ชุดดอยช้างมูน อยู่ในยุค Permo-Triassic ประกอบด้วยหินโทนาลิต (Tonalite) และหินไคลโอไรต์ (Diorite) มีหินแปรกล ปลอมของแกนโนบ (Gabbro) หรือหินแกนโนบอิก ไคลโอไรต์ (Gabbroic Diorite) ภาพที่ 2 แสดงหน้าตัดลักษณะธรณีวิทยา (Tr_{gr}) ของพื้นที่โดยรอบพื้นที่ศึกษา

3. การสำรวจและทดสอบในสนาม

การสำรวจและทดสอบในสนามมีวัตถุประสงค์เพื่อประเมิน ความหนาและความสม่ำเสมอของชั้นดินในพื้นที่โครงการ และทดสอบคุณสมบัติทางกายภาพและทางวิศวกรรมของชั้นดินเพื่อนำไปใช้ในการวิเคราะห์เสถียรภาพของลักษณะ



ภาพที่ 2 หน้าตัดลักษณะธรณีวิทยา (กรมทรัพยากรัฐ, 2533) [2]



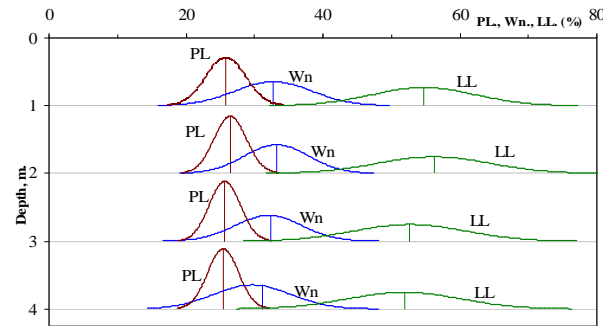
3.1 สภาพธารฟิวิทัยและการสำรวจธารฟิลิกส์

การสำรวจสภาพธารฟิวิทัยพบว่าพื้นที่ส่วนใหญ่เป็นปูกลุ่มด้วยดินที่ผุพังจากหินไดอิโอไรต์ (Diorite-fine to medium grained) ประกอบด้วยดินเหนียวปานรายแข็ง และดินเหนียวปานรายละเอียด สีน้ำตาลแดง สีแครงอมชมพู ลักษณะดินตั้งกล้าวมีความสัมพันธ์กับข้อมูลจาก QAP diagram (Streckeisen, 1976) [4] ที่พบว่าหินตั้งกล้าวมีเปอร์เซ็นต์แร่แฟลกซิโลเคลส เฟลเดสปาร์ (Plagioclase Feldspar) ที่สามารถผุพังกลายเป็นแร่ดินเหนียวสูงถึงสูงมาก หากมวลหินมีความหนาแน่นของรอยแตกและรอยแยกสูง อัตราการการผุพังจะสูงเพิ่มขึ้นตาม และจากการสำรวจธารฟิลิกส์ของกรมทรัพยากรัฐ (2550) [5] ด้วยวิธีการวัดค่าความด้านทานไฟฟ้า (Resistivity Survey) พบว่า สภาพธารฟิวิทัยในพื้นที่ตั้งกล้าวปานรายแข็งชั้นดินหนาตั้งแต่ 10–100 เมตร ปูกลุ่มหินฐานราก บางบริเวณพบลักษณะของหินลายแทรกปนอยู่ ซึ่งจากการสำรวจสามารถสรุปได้ว่ามีการสะสมตัวของชั้นดินหนา เนื่องจากการผุพังอยู่กับหินตันกำเนิด และดินที่ผุพังมีลักษณะเป็นดินเหนียว

3.2 การสำรวจชั้นดินด้วยการเจาะสว่านมือ (Hand Auger)

เพื่อตรวจสอบข้อมูลตาม 3.1 จึงได้ทำการประเมินความหนาและความสม่ำเสมอของชั้นดินในพื้นที่โครงการฯ โดยการเจาะสำรวจชั้นดินด้วยสว่านมือกระเจาทั่วพื้นที่ศึกษาโดยกำหนดแนวการเจาะตามลักษณะที่มีความลักษณะสูง หรือพื้นที่ที่มีความเสี่ยงสูง โดยแต่ละแนวเจาะสำรวจ 2-3 หลุม (ความลึก 4 เมตร/หลุม) จำนวน 22 แนว รวมทั้งหมด 57 หลุม

จากการเจาะสำรวจโดยสว่านมือ พบชั้นดินหนาลดลงตามลักษณะของหลุมสำรวจในเกือบทุกหลุมสำรวจ และพบลักษณะของหินผุในบริเวณร่องน้ำ ผลทดสอบทางกายภาพของชั้นดินจากหลุมเจาะตามความลึก (จำนวน 207 ตัวอย่าง) แสดงดังภาพที่ 3 พบว่าค่า W_n , LL, PL และ PI มีแนวโน้มลดลงตามความลึก รวมทั้งการกระเจาขนาดของเม็ดดินในบริเวณพื้นที่ศึกษามีขนาดไกล์เล็กกัน โดยเม็ดดินส่วนใหญ่เป็นดินเม็ดละเอียด และเมื่อจำแนกดินด้วยระบบ USCS พบว่าเป็นดินเหนียวชนิด CL และ CH และมีค่า PI เฉลี่ยอยู่ในช่วง 26.45 – 29.26%

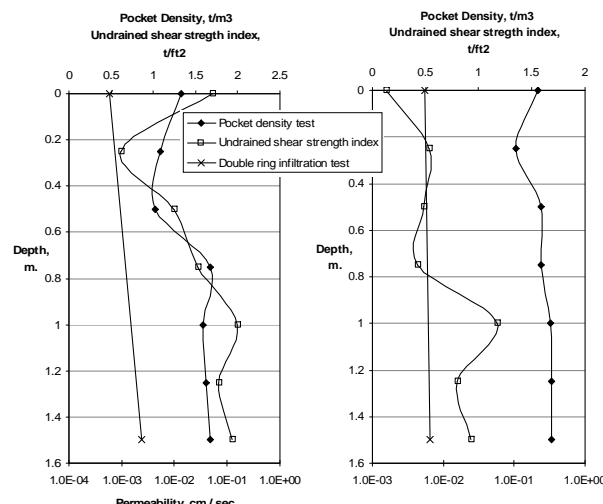


ภาพที่ 3 การกระเจาด้วยผลทดสอบคุณสมบัติทางกายภาพของชั้นดิน

3.3 การขุดบ่อสำรวจ (Test Pits)

บ่อสำรวจจำนวน 2 บ่อ ได้ถูกเปิดในพื้นที่ที่มีความเสี่ยงต่อการเกิดดินถล่มสูง โดยทำการเก็บตัวอย่างดินคงสภาพ โดยอุปกรณ์เก็บตัวอย่างสำหรับงานวิจัยดินถล่ม KU-Miniature Sampler (วาระ 2546 และนงลักษณ์ 2548 และวาระ และบรรพต, 2548) เพื่อนำตัวอย่างมาทดสอบกำลังรับแรงเฉือนในห้องปฏิบัติการสำหรับการทดสอบความสามารถในการซึมนำของชั้นดินในสนาม ทดสอบโดยวิธี Double Ring Infiltration Test (ASTM D 3385) เพื่อหาค่าสัมประสิทธิ์การซึมผ่านของน้ำ นอกจากนี้ยังได้เก็บข้อมูล หน่วยน้ำหนักของดินในสนาม (Pocket Density Test) และค่าดัชนีแรงเฉือนแบบไม่ระบายน้ำ (Undrained Shear Strength Index) โดยใช้อุปกรณ์ Pocket Penetrometer

ผลการทดสอบดังภาพที่ 4 พบว่าดินมีความสามารถในการซึมนำสูงตลอดความลึกของการสำรวจ และมีค่าความหนาแน่นต่ำ โดยเฉพาะบริเวณความลึกช่วง 0.2-0.5 เมตรจากผิวดิน



ก.) บ่อสำรวจที่ 1

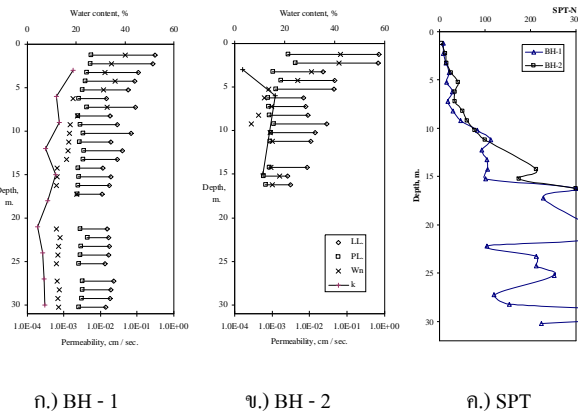
ภาพที่ 4 ผลการทดสอบในบ่อสำรวจ

ข.) บ่อสำรวจที่ 2

3.4 การสำรวจชั้นดินระดับลึก

หลุมสำรวจระดับลึก 2 หลุม ได้ดำเนินการในพื้นที่เลี่ยงต่อการเกิดดินคลุ่มดินคลุ่มสูง คือมีโอกาสเกิดและผลกระทบสูงเพื่อทดสอบความแข็งแรงและความซึมนำของชั้นดิน ด้วยวิธีการเจาะแบบพืดถัง (Wash Boring) พร้อมทั้งทดสอบ SPT และทดสอบความซึมนำตลอดความลึก พบว่าลักษณะของชั้นดินประกอบด้วยดินในกลุ่ม CH, CL และ SC แทรกสลับชั้นกันอยู่โดยมีชั้นหินฐานเป็น Diorite

ผลการทดสอบแสดงดังภาพที่ 5 โดยผลการตอกทดสอบ (SPT, N) มีแนวโน้มเพิ่มสูงขึ้นตามความลึก โดยที่ความลึก 8 เมตร ไปค่า SPT จะเพิ่มสูงขึ้นมากทดสอบคล้องค่าสภาพของดินที่อยู่ริมเปลี่ยนสถานะจากปلاสติกเป็นกึ่งของแข็ง ชั้นดินมีความหนาและมีค่าความซึมนำสูงตลอดความลึก



ภาพที่ 5 ผลการทดสอบชั้นดินระดับลึก

4. ลักษณะการพิบัติของลักษณะในพื้นที่ศึกษา

Varnes (1978) [9] จำแนกรูปแบบของการพิบัติออกเป็น 6 ประเภทหลักๆ จากการสำรวจพบลักษณะการพิบัติจำแนกได้ตาม Varnes (1978) เป็น 2 ลักษณะ คือ

1. การพิบัติแบบเลื่อนไถ (Slides) ในพื้นที่ที่มีความลาดชันมากกว่า 35 องศา โดยเฉพาะบริเวณที่มีการตัดถนน ห้ามส่วนงานตัดและงานถอนและพื้นที่ที่ไม่มีสิ่งปักกุ่มดิน ขนาดของดินคลุ่มสูงกว่า 20 ลบ.ม.

2. การเคลื่อนของดิน (Soil Creep) ส่วนใหญ่เกิดบริเวณริมถนนทางขึ้นโครงการ โดยดินจะมีการเคลื่อนตัวอย่างช้าๆ ไม่ปรากฏรอยแตกหรือรอยแยกนิ่วติดกัน แต่สามารถสังเกตได้จากการเอียงตัวของดินใหม่

นอกจากนี้ยังมีลักษณะทางส่วนที่มีการกัดเซาะของน้ำ (Erosion) ซึ่งอาจส่งผลให้เกิดการพิบัติแบบเลื่อนไถได้ใน

อนาคต (สำหรับบริเวณที่มีความลาดชันสูง) ตำแหน่งผลการสำรวจแสดงดังภาพที่ 6

5. การสำรวจสภาพบังชี้ลักษณะดินคลุ่ม

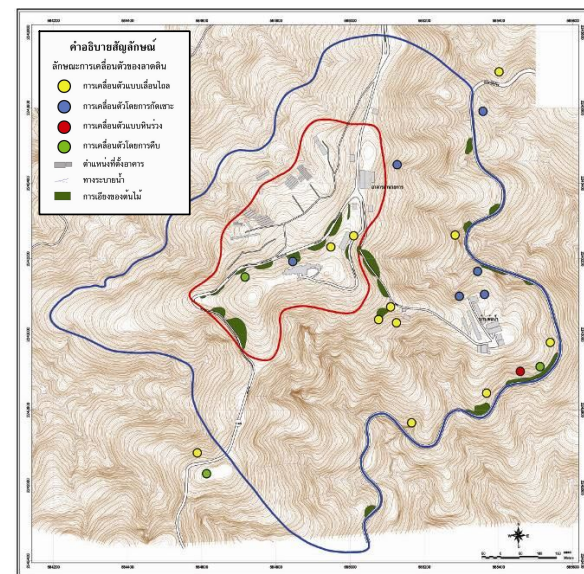
ลักษณะบังชี้ถึงการเคลื่อนตัวของมวลดินในพื้นที่ที่ดำเนินการโดยการสำรวจและเก็บข้อมูลอันประกอบด้วย

ก. การอธิบายของดินใหม่

ข. ตำแหน่งการเคลื่อนของมวลดิน

ก. รอยแตกของถนน

ผลการสำรวจพบว่าสิ่งปักกุ่มดิน การกัดเซาะและการเกิดดินไถ มีความสัมพันธ์กันอย่างชัดเจน โดยพื้นที่ที่ไม่มีสิ่งปักกุ่มดิน หรือสิ่งปักกุ่มดินมีความหนาแน่นไม่เพียงพอ หน้าดินจะถูกกัดเซาะได้ง่าย และส่งผลให้น้ำฝนไหลซึมลงสู่ชั้นดินที่ลึกกว่าได้โดยง่าย ทำให้กำลังของดินลดลงและเกิดการไถตัวในที่สุด พื้นที่ตามแนวการตัดถนนพบการเอียงตัวของดินใหม่และพบรอยแตกบนผิวน้ำ ผลการสำรวจดังภาพที่ 6



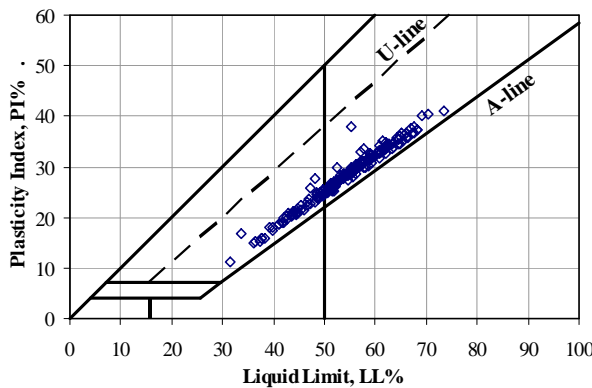
ภาพที่ 6 แผนที่สัญญาณการเคลื่อนตัวของดิน

6. การประเมินพฤติกรรมดินคลุ่มจากคุณสมบัติดิน

จากข้อมูลผลการสำรวจทั้งหมดที่ได้กล่าวมา สามารถประเมินพฤติกรรมดินคลุ่มได้ดังต่อไปนี้

ก. การเจาะสำรวจด้วยสว่านมือ (Hand Auger) ผลการสำรวจไม่พบชั้นหิน ซึ่งสอดคล้องกับ Resistivity Survey ที่พบชั้นหินในระดับลึก โดยชั้นดินมีความสม่ำเสมอและสามารถจำแนกประเภทดิน (USCS) ได้เป็น CH, CL, MH หรือ OH มีปริมาณเม็ดละเอียดมาก และดินมีความเป็น Plastic หรือมีความเหนียว

เมื่อตรวจสอบจาก Plasticity Chart พบร่วมกับค่าดินเหนียวที่พบร่วมกันเป็นแร่ Illite ดังภาพที่ 7 ชี้บ่งบอกว่าค่าดินผุพังมาจากการหินด้านกำเนิดชนิดเดียวกัน



ภาพที่ 7 ผลการสำรวจแสดงใน Plasticity Chart

ข. การเปิดบ่อสำรวจ (Test Pit) และการทดสอบในสนาม: พบร่วมดินระดับดิน (ไม่กิน 20 ซม.) ประกอบด้วยหน้าดินที่มีการผุพังของชาดพื้นและรากไม้ จากนั้นเป็นชั้นดินที่ก่อขึ้นข้างจะมีชนิดเดียวกันสมมูล เป็นดินเหนียวที่มีค่าความซึมน้ำก่อนขึ้นสูงและมีความหนาแน่นต่ำ

ค. การทดสอบการเปลี่ยนแปลงกำลังรับแรงเฉือนในห้องปฏิบัติการ วิเคราะห์โดยวิธี Strength Reduction Index (SRI) (Suttisak and Bumroong, 2006) [8] พบร่วมกับค่าดินอิ่มตัวจะทำให้กำลังรับน้ำหนักของดินลดลงจากสภาพธรรมชาติกว่าร้อยละ 50 (SRI = 1.581) ผลการทดสอบดังกล่าวสอดคล้องกับผลการทดสอบ Direct Shear Test ที่พบร่วมกับค่าดินเมื่ออญูในสภาพอิ่มตัว กำลังรับแรงเฉือนจะมีค่าลดลงจากสภาพธรรมชาติ

จากการสำรวจและทดสอบทางวิศวกรรมปฐพีข้างต้นสามารถสรุปได้ว่า สิ่งปลูกถ่ายเป็นปัจจัยที่มีอิทธิพลอย่างมากในการป้องกันการเคลื่อนด้วยของมวลดิน เนื่องจากดินที่ผุพังจากหินดันกำเนิดมีความหนาแน่นต่ำและมีค่าความซึมน้ำสูง ทำให้น้ำไหลซึมได้ดีในมวลดิน ส่งผลให้กำลังรับแรงเฉือนลดลงตามลำดับอย่างไรก็ถึงแม้ดินจะสูญเสียกำลังได้มากเมื่อความชื้นเพิ่มขึ้น แต่เนื่องจากดินมีช่วงความเป็น Plastic หรือมีความเหนียวในช่วงปริมาณความชื้นที่กว้าง ทำให้การเคลื่อนด้วยพิบัติจึงอยู่ในลักษณะการกีบ (Creep) แทนที่จะพิบัติแบบทันทีทันใดดังหลักฐานการอ้างของตนไม่จากการขุดตัดดิน

7. การประเมินพื้นที่โอกาสเกิดดินถล่ม

การประเมินพื้นที่โอกาสเกิดดินถล่ม ดำเนินการโดยการวิเคราะห์เส้นยาราฟของดินดิน ด้วยวิธี Limit Equilibrium ตามคำแนะนำของ วรกร (2542) [10] ร่วมกับเทคนิคของระบบสารสนเทศภูมิศาสตร์ (GIS) เพื่อกำหนดพื้นที่โอกาสเกิดดินถล่มในแผนที่ความละเอียด 1:1,000

7.1 คุณสมบัติดินสำหรับการวิเคราะห์

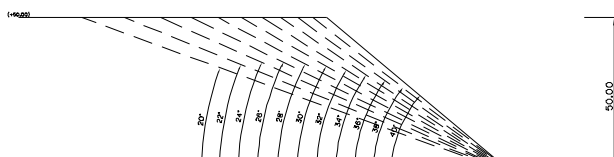
จากการสำรวจจากสนาม และการทดสอบในห้องปฏิบัติการ สามารถประเมินสภาพชั้นดินในพื้นที่ได้ว่าชั้นดินเป็นดินที่มีเนื้อสัมภ์เสมอ (Homogeneous Soil) มีความหนามากกว่า 15-30 เมตร ด้านล่างเป็นชั้นหินแข็ง (Bed Rock) ลักษณะดินดังกล่าวจึงเป็นลักษณะที่สามารถสร้างแบบจำลองดินชั้นที่มีเนื้อคินสมมูลและมีคุณสมบัติเดียวกัน นอกจากนั้น การวิเคราะห์การพิบัติในรูปแบบส่วนโถ้งของวงกลม (Circular failure) จึงเป็นไปได้มากกว่าการใช้รูปแบบการพิบัติในลักษณะ Infinite slope ที่หมายความกับลักษณะพื้นที่ที่มีชั้นดินไม่หนาหรือชั้นหินอยู่ด้วยกัน ค่ากำลังรับแรงเฉือนสำหรับการวิเคราะห์เส้นยาราฟของดินดินดำเนินการทดสอบโดยใช้การทดสอบแบบเฉือนตรง (Direct shear test) โดยทดสอบในสภาพ Undrained กับดิน Undisturbed ที่มีความชื้นตามสภาพธรรมชาติ และสภาพแข็งน้ำ นอกจากนั้ง ให้นำค่า Residual strength จากการทดสอบกำลังรับแรงเฉือนในสภาพแข็งน้ำมาวิเคราะห์เพื่อประเมินค่า C และ φ ของดินในสภาพ Residual เมื่อจากในพื้นที่พบพฤติกรรมการ Creep ของดินอย่างชัดเจน ซึ่งอาจทำให้กำลังรับแรงเฉือนอยู่ในสภาพ Residual เนื่องจากเกิด Strain มากจากการ Creep คุณสมบัติดินทั้ง 3 สภาวะ แสดงดังตารางที่ 1

ตารางที่ 1 ค่ากำลังรับแรงเฉือนในสภาวะ Undrained

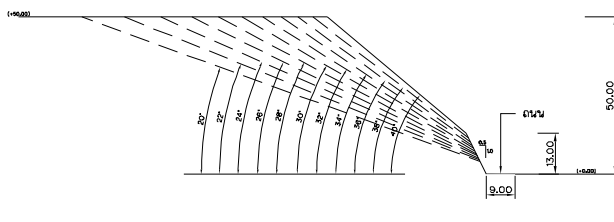
สภาวะ	C, (t/m ²)	φ, (deg.)	γ _c , (t/m ³)
กำลังของดินในสภาวะความชื้นธรรมชาติ (Unsaturated)	1.00	36.0	1.60
กำลังของดินในสภาพแข็งน้ำ (Soaked)	1.00	30.0	1.70
กำลังของดินในสภาวะคงที่ (Residual Shear Strength)	0.10	30.0	1.55

7.2 การวิเคราะห์เสถียรภาพของลาดคินชิงพื้นที่

พื้นที่ของโครงการมีความลาดชันที่แตกต่างกัน ไม่สามารถที่จะแบ่งแนวตัด (Section) เพื่อทำการวิเคราะห์ได้ทุกแนว ดังนั้น การวิเคราะห์เสถียรภาพของลาดคินในพื้นที่ทั้งหมดจึงทำโดยการกำหนดความสูงของลาดคินประมาณ 50 เมตร ซึ่งเป็นค่าเฉลี่ยของความสูงบริเวณด้านบนพระตำหนักฯ ถึงดอนด้านล่าง แล้วปรับเปลี่ยนค่าความลาดเอียงตั้งแต่ 20 ถึง 40 องศา เพื่อหาค่าอัตราส่วนความปลอดภัยของลาดชันในมุมเอียงต่างๆ โดยแบ่งลักษณะของลาดเอียงเป็น 2 กรณี คือ กรณีพื้นที่เป็นพื้นที่ลาดต่อเนื่อง และกรณีมีการตัดลาดเชิงเขาเพื่อการก่อสร้างถนน ดังภาพที่ 8 และภาพที่ 9 ตามลำดับ

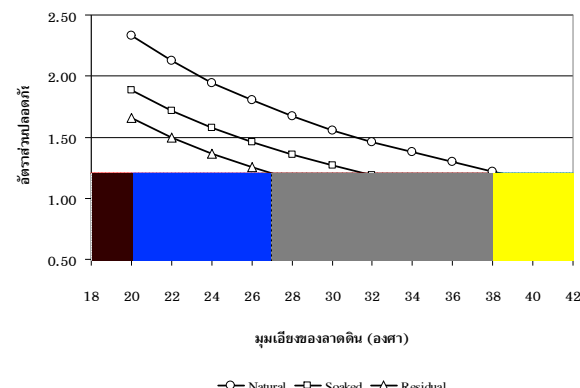


ภาพที่ 8 การวิเคราะห์ กรณีพื้นที่เป็นลาดชันต่อเนื่อง

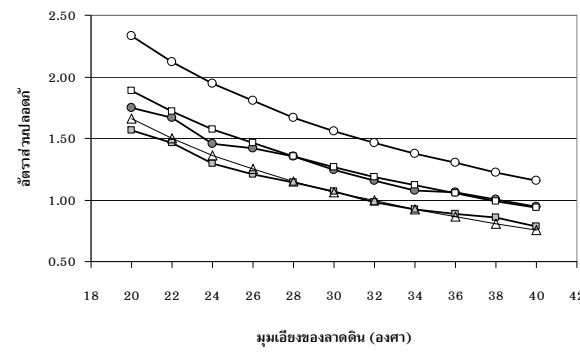


ภาพที่ 9 การวิเคราะห์ กรณีมีการตัดลาดเชิงเขาเพื่อการก่อสร้างถนน

ผลการวิเคราะห์เสถียรภาพทั้ง 2 ลักษณะ แสดงดังภาพที่ 10 ซึ่งจะเห็นว่าอัตราส่วนความปลอดภัยจะมีค่าคล่องเมื่อความลาดเอียงที่เพิ่มขึ้น โดยคินในสภาวะแห้งน้ำ จะมีค่าความปลอดภัยที่ต่ำกว่าคินในสภาวะธรรมชาติ และกรณีการตัดลาดเชิงเขาเพื่อการก่อสร้างถนนพบว่าอัตราส่วนความปลอดภัยมีค่าต่ำกว่าเมื่อเทียบกับกรณีพื้นที่เป็นพื้นที่ลาดต่อเนื่องอย่างชัดเจน และแนวการพิบัติเกิดขึ้นบริเวณดินลาดชันด้านดินดัด ซึ่งตรงกับพฤติกรรมที่เกิดขึ้นจริง

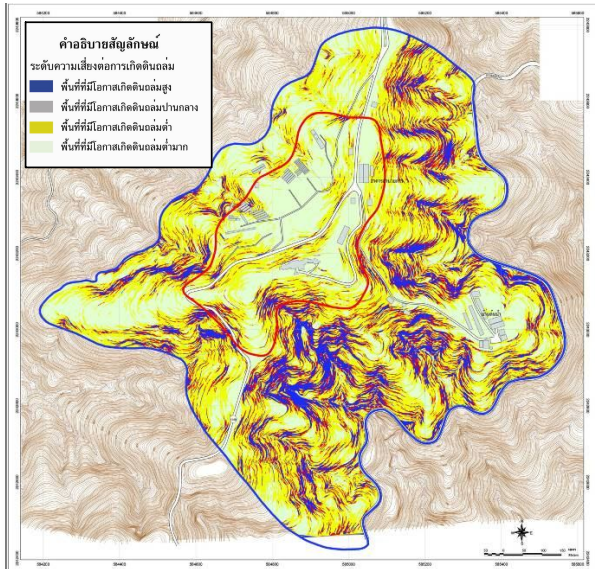


ภาพที่ 10 อัตราส่วนปลอดภัยกรณีการวิเคราะห์ลาดชันต่อเนื่อง

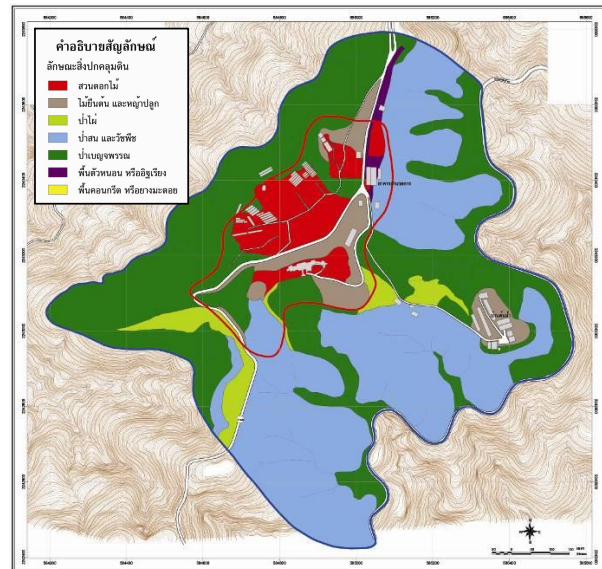


ภาพที่ 11 อัตราส่วนปลอดภัยระหว่างกรณีการวิเคราะห์ลาดชันต่อเนื่อง กับกรณีมีการตัดลาดเชิงเขาเพื่อการก่อสร้างถนน

เมื่อนำมาเปรียบเทียบความลาดชัน จากแผนที่มาตราส่วน 1:1,000 มาวิเคราะห์ร่วมกับผลการวิเคราะห์เสถียรภาพของลาดชัน โดยจำแนกระดับโอกาสเกิดคืนกลับตามค่าอัตราส่วนความปลอดภัย และองศาความลาดชันดังแสดงในภาพที่ 10 โดยพิจารณาช่วงของความลาดชันที่ให้อัตราส่วนความปลอดภัยที่มากกว่า 1.2 ถือว่ามีโอกาสเกิดตัว (Brand 1984 [11] และ Trenter 2001 [12]) หากเท่ากัน 1.2 ถือว่าปานกลาง และหากต่ำกว่า 1.0 ถือว่ามีโอกาสเกิดคืนกลับสูง โดยการวิเคราะห์ได้พิจารณาช่วงกำลังรับน้ำหนักของดินทั้งจากสภาพธรรมชาติ (Natural) สภาพแห้งน้ำ (Soaked) และสภาพกำลังที่คงเหลือหลังการเคลื่อนตัว (Residual) และดำเนินการในระบบสารสนเทศภูมิศาสตร์ (GIS) ผลการวิเคราะห์สามารถแสดงได้ในเชิงพื้นที่ ดังภาพที่ 12



ภาพที่ 12 แผนที่พื้นที่ที่มีโอกาสเกิดดินถล่มในพื้นที่โครงการฯ



ภาพที่ 13 ผลการสำรวจสิ่งปักกลุ่มคืนในพื้นที่โครงการพัฒนาดอยตุงฯ

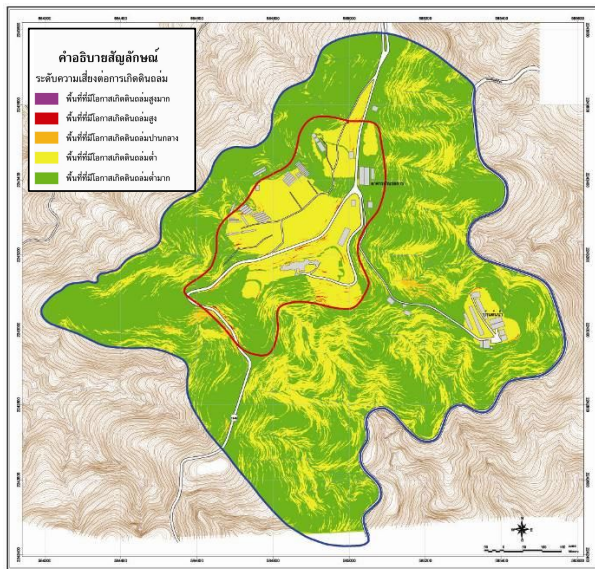
การวิเคราะห์ดังกล่าวไม่ได้พิจารณาปัจจัยของสิ่งปักกลุ่มคืน ประกอบ ซึ่งจากผลการวิเคราะห์พบว่าพื้นที่บริเวณร่องน้ำมี โอกาสเกิดดินถล่มสูงเนื่องจากมีความลาดชันมาก จึงเข้าสู่การพื้นที่ดังกล่าว และพบว่าบริเวณดังกล่าวไม่ปรากฏร่องรอยการพิบัติหรือลักษณะที่บ่งบอกถึงการเคลื่อนตัวตามผลการวิเคราะห์ แต่ยังไง ได แต่พบว่าพื้นที่ส่วนใหญ่เป็นร่องน้ำที่มีฐานเป็นหิน และมีการสะสมตัวของหินโดยในบริเวณดังกล่าว พื้นที่ดังกล่าว ความมีความมั่นคงกว่าผลการวิเคราะห์ ทั้งนี้เนื่องจากค่ากำลังรับแรงของมวลรวมหินมีค่ามากกว่าดิน จึงทำให้คาดชันในบริเวณดังกล่าวมีค่าสูงกว่าคาดชันคืนธรรมชาติและไม่เกิดการพิบัติ

7.3 ปัจจัยสิ่งปักกลุ่มคืนต่อโอกาสเกิดดินถล่ม

ผลการวิเคราะห์ข้อมูลทางวิศวกรรมประพิธ์ดังที่ได้กล่าวมาจะเห็นได้ว่าสิ่งปักกลุ่มคืนเป็นปัจจัยที่มีผลต่อความมั่นคงของคาดชัน เนื่องจากมีผลต่อการไหลซึมของน้ำลงสู่ชั้นดินเบื้องล่าง ดังนั้นจึงทำการสำรวจลักษณะสิ่งปักกลุ่มคืน โดยพิจารณาถึงความสามารถในการลดการไหลซึมของน้ำลงสู่ดิน โดยแบ่งประเภทของสิ่งปักกลุ่มคืนเป็น 9 ชนิด ดังภาพที่ 13 ตามลำดับ ความสามารถในการไหลซึมของน้ำลงสู่ชั้นดิน ได้แก่

1. ไม่มีพืชกลุ่มคืน
2. ทุ่งหญ้าหรือวัวพืช
3. ไม้คอกไม้ประดับหรือสวนดอกไม้
4. ไม้ขันต้นและหญ้าป่าสูก
5. ป่าໄaire
6. ป่าสนและวัวพืช
7. ป่าเบญจพรรณและวัวพืช
8. พื้นดัวหอนหรืออิฐร่อง
9. พื้นดอนกรีดหรือขามะตอน

จากการวิเคราะห์ความมั่นคงของคาดชันเชิงพื้นที่ทำให้ทราบถึงพื้นที่ที่มีโอกาสเกิดดินถล่มดังภาพที่ 12 ซึ่งไม่ได้นำลักษณะสิ่งปักกลุ่มคืนเข้ามาพิจารณา ดังนั้นหากนำปัจจัยลักษณะสิ่งปักกลุ่มคืนในปัจจุบันมาพิจารณาร่วม โดยแบ่งระดับสิ่งปักกลุ่มคืนเป็น 5 ระดับ ได้แก่ ระดับที่ 1 (คะแนนความเสี่ยงสูงสุด) : ไม่มีพืชปักกลุ่มคืนและทุ่งหญ้าหรือวัวพืช ระดับที่ 2 : ไม่คอกไม้ประดับหรือสวนดอกไม้และไม้ขันต้นและวัวพืช ระดับที่ 3 : ป่าสนและใบสนคุณภาพป่าໄaire ระดับที่ 4 : ป่าสนและทุ่งหญ้าและป่าเบญจพรรณและวัวพืช ระดับที่ 5 (คะแนนความเสี่ยงต่ำสุด) : พื้นดัวหอนหรืออิฐร่องและพื้นดอนกรีดหรือขามะตอน ดังภาพที่ 14 การวิเคราะห์เพื่อร่วมปัจจัยสิ่งปักกลุ่มคืนเข้ามาพิจารณาร่วมกับผลการวิเคราะห์ความลาดชัน ใช้หลักว่าสิ่งปักกลุ่มคืนต่างชนิดกันมีโอกาสในการลดการไหลซึมของน้ำลงสู่ชั้นดินด้านล่างด้านกัน โดยปรับเปลี่ยนการเพิ่มหรือลดโอกาสการเกิดการพิบัติจากการวิเคราะห์ความลาดชัน การวิเคราะห์โดยใช้หลักการดังกล่าวทำให้ระดับของพื้นที่โอกาสเกิดดินถล่มเปลี่ยนจาก 3 ระดับเป็น 5 ระดับ



ภาพที่ 14 พื้นที่โอกาสเกิดดินถล่มในพื้นที่โครงการฯ พิจารณาปัจจัยสิ่งปลูกสร้างร่วมกับผลการวิเคราะห์เสถียรภาพของ\dataชั้น

7.4 การตรวจสอบความถูกต้องของการวิเคราะห์

เพื่อตรวจสอบความถูกต้องของการวิเคราะห์ที่ได้เสนอ ข้างต้นนี้ได้ทำการตรวจสอบความถูกต้องของแผนที่โอกาสเกิดดินถล่ม (ภาพที่ 14) กับข้อมูลเหตุการณ์ที่เคยเกิดขึ้นในอดีต และสภาพปัจจุบันของดินถล่มในพื้นที่ (ภาพที่ 6) ซึ่งพบว่าตำแหน่งการเกิดดินถล่มภายในขอบเขตพื้นที่ศึกษาจำนวน 21 ตำแหน่ง และตำแหน่งการเอียงตัวของดินไม่ทั้งหมดอยู่ในพื้นที่โอกาสเกิดดินถล่มระดับปานกลางเกือบทั้งหมด ซึ่งบัดกับความเป็นจริงอย่างไรก็ตามเมื่อพิจารณาตำแหน่งการเกิดดินถล่มและการเอียงตัวของดินไม่ดังกล่าวจะเห็นได้ว่ามีตำแหน่งอยู่บริเวณแนวการตัดถนนหรือการตัด\dataชั้นธรรมชาติทั้งหมด จึงได้นำผลการวิเคราะห์เสถียรภาพของ\dataชั้นในการศึกษาตัดถนน (ภาพที่ 9 และภาพที่ 11) ทำให้พบว่าระดับโอกาสเกิดดินถล่มเปลี่ยนจากระดับปานกลางเป็นระดับสูงถึงสูงมาก จึงได้ข้อสรุปว่าโอกาสเกิดดินถล่มในสภาพธรรมชาติของพื้นที่โครงการ มีระดับตั้งแต่ปานกลางลงไปแต่เมื่อมีการตัดถนนหรือตัด\dataชั้นธรรมชาติ จะส่งผลทำให้โอกาสเกิดดินถล่มในพื้นที่ดังกล่าวสูงขึ้นในระดับสูงถึงสูงมากในทันที

8. สรุป

1. การวิเคราะห์เสถียรภาพของ\dataชั้นเพื่อประเมินโอกาสเกิดดินถล่มโดยวิธี Limit equilibrium สามารถใช้สมมุติฐานการพิบัติในลักษณะ Circular Failure ได้หากการผุสลายของหินดิน

ดำเนินการทำให้เกิดชั้นดินสะสมตัวหนา ซึ่งในการพิศึกษานี้พบว่าหินหลุม Diorite มีลักษณะดังกล่าวโดยยืนยันได้จากการเจาะสำรวจด้วยสว่านมือจำนวน 57 หลุม การเจาะระดับลึก การเปิดบ่อสำรวจและการทดสอบความด้านทางไฟฟ้า

2. ผลการทดสอบคุณสมบัติดินที่ผุพังจากหินหลุม Diorite พบว่าเป็นดินประเภท CL หรือ CH ที่มีความหนาแน่นต่ำ ($< 1.6 \text{ t/m}^3$) และความซึมน้ำสูง ($> 10^{-3} \text{ cm/s}$) และนอกจากนั้นยังสามารถสูญเสียความแข็งแรงได้มากเมื่อแช่น้ำ (SRI = 1.581) จึงเป็นดินที่มีความเสี่ยงต่อการเกิดดินถล่ม หากเกิดฝนตกหนัก นอกจากนั้นสิ่งปลูกสร้างด้านหลังดินหลุมนี้ ยังมีความสำคัญอย่างมากเนื่องจากสามารถลดการไหลซึมของน้ำลงสู่ชั้นดิน ทำให้ลดโอกาสเกิดดินถล่มได้มาก

3. ถึงแม้ดินที่ผุพังจากหินหลุม Diorite จะมีคุณสมบัติต่างกันอย่างมาก แต่เนื่องจากดินมีคุณสมบัติด้านความเป็นพาลาสติกที่ดี (PI = 26.45-29.26%) จึงทำให้การพินวัดของ\dataชั้นไม่เกิดขึ้นทันทีทันใด แต่จะมีพฤติกรรมการถีบ (Creep) ดังที่ยืนยันได้จากพฤติกรรมการเอียงตัวของดินไม้และผลการตรวจวัดการเคลื่อนตัวโดย Inclinometer ในบทความข้างเคียง

4. การประเมินโอกาสเกิดดินถล่มในเชิงพื้นที่โดยวิธีทางวิศวกรรมปฐพี โดยใช้หลักการวิเคราะห์เสถียรภาพของ\dataชั้นเพื่อตรวจสอบค่าอัตราส่วนความปลดภัยตามองค์ความ\dataชั้นต่างๆ พบว่าสามารถทำได้อย่างเหมาะสมในกรณีศึกษานี้ เนื่องจากใช้ความละเอียดของข้อมูลแผนที่ความ\dataชั้น 1:1,000 อย่างไรก็ตาม ความถูกต้องของการวิเคราะห์ยังขึ้นอยู่กับสมมุติฐานของแบบจำลองเสถียรภาพที่ถูกต้องตามลักษณะพื้นที่จริง ดังเช่น ในการพิศึกษานี้ พื้นที่ร่องน้ำและพื้นที่การตัดถนนจะได้คำโอกาสเกิดดินถล่มไม่ตรงกับผลการวิเคราะห์เนื่องจากพื้นที่ร่องน้ำมีลักษณะ\dataชั้นเป็นมวลหิน ในขณะที่แบบจำลองเป็นดิน สำหรับพื้นที่การตัดถนนนั้นเป็นการปรับเปลี่ยนความชันไปจากธรรมชาติ ทำให้ไม่ตรงกับข้อมูลแผนที่ 1:1,000 ที่ใช้ในการวิเคราะห์

9. กิติกรรมประกาศ

ผู้เขียนได้รับขออนุญาต กรมทรัพยากรธรณ์ โครงการศึกษาความเสถียรของ\dataชั้นในพื้นที่โครงการพัฒนาดอยตุง ที่ให้ความช่วยเหลือเงินสนับสนุนการวิจัยในครั้งนี้ ขออนุญาต โครงการพัฒนาดอยตุงฯ ที่อำนวยความสะดวกในการดำเนินงานในพื้นที่



และร่วมกันดำเนินการศึกษาในครั้งนี้ และขอขอบคุณ กรมชลประทานที่เอื้อเฟื้อแผนที่ลักษณะภูมิประเทศโครงการพัฒนาดอยตุงฯ มาตราส่วน 1:1,000

10. บรรณานุกรม

[1] กรมชลประทาน. 2531, การสำรวจทางธารภูมิพื้นที่โครงการพัฒนาดอย

ดู. กองสำรวจภูมิประเทศ กรมชลประทาน.

[2] กรมทรัพยากรธรรมชาติ. 2533, แผนที่ธารภูมิวิทยาประเทศไทย 1:50,000

ระหว่าง 4949 I, พื้นที่โครงการพัฒนาดอยตุง จังหวัดเชียงราย.

กรุงเทพฯ.

[3] ปริญญา พุทธากิบาล และ ฉลองรัช ยะอนันต์. 2532, ธารภูมิวิทยาและ

สิ่งแวดล้อมบริเวณโครงการพัฒนาดอยตุง จังหวัดเชียงราย, กอง

ธารภูมิวิทยา, กรุงเทพฯ.

[4] Streckeisen. 1976, To each plutonic rock its proper name, Earth and Planetary Science Letters, v.12, p.1-33.

[5] กรมทรัพยากรธรรมชาติ. 2550, รายงานการสำรวจธารภูมิพิเศษส์ด้วยวิธีการวัด

ค่าความด้านท่านไฟฟ้า พื้นที่โครงการพัฒนาดอยตุง จังหวัดเชียงราย,

กรมทรัพยากรธรรมชาติ, กระทรวงทรัพยากรธรรมชาติและสิ่งแวดล้อม.

กรุงเทพฯ

[6] วรากร และ นงลักษณ์, 2546, คุณสมบัติดินทางวิศวกรรมเพื่อการ

วิเคราะห์เสี่ยงภาพของคาดดินในพื้นที่ลุ่มน้ำน้ำก้อ ต.น้ำก้อ อ.หล่ม

สัก จ.เพชรบูรณ์, วิทยานิพนธ์ปริญญาโท, มหาวิทยาลัย เกษตรศาสตร์

[7] วรากร และ บรรพต, 2548, การศึกษาพฤติกรรมการพินติดของคาดดินใน

พื้นที่ดันน้ำของคุ่นน้ำย้อยแม่น้ำจันทบุรี, วิทยานิพนธ์ปริญญาโท,

มหาวิทยาลัย เกษตรศาสตร์

[8] Suttisak and Bunpoat, 2006, Landslide Risk Prioritization of Tsunami Affected Area in Thailand, Regional Symposium on Infrastructure Development in Civil Engineering. 6-9 December 2006, Manila Philippin.

[9] Varnes, D.J. 1978. Slope Movement Types and Processes, pp. 11-33.

Schuster R.L. and Krizek R.J. (eds.). Landslides analysis and control. Transportation Special Report No 176. National Academy of Sciences, Washington D.C.

[10] วรากร ไม่เรียง. 2542. วิศวกรรมเขื่อนดิน. พิมพ์ครั้งที่ 2. ไลบรารี นานาชาติ พับลิชชิ่ง, กรุงเทพฯ.

[11] Brand E.W. 1984. Geotechnical manual for slopes. Geotechnical Contra Office Empire Centre, 6th floor, East Tsimshatsui, Kowloon, Hong Kong.

[12] Trenter N.A. 2001. Earthworks: a guide. Thomas Telford Publishing, Thomas Telford Limited, 1 Heron Quay, London.